

The system of two linear formulae (2,3) was determined by a least squares solution. O-C diagram corresponding to elements (3) is shown in Figure 1, where the long time periodicity ($\Pi=4000^d$) with the amplitude of $0^d.04$ is seen.

Астрономическая обсерватория Одесского госуниверситета.

Поиск высокочастотных радиальных колебаний у звезд типа δ Щита.

**Г.А. Гарбузов, С.М. Андриевский, О.П. Парамонова, К. Сатмари,
Ю.Т. Федотов.**

Search for high-frequency radial pulsation in δ Scuti Stars,
by G.A. Garbuzov, S.M. Andrievskiy, O.P. Paramonova, K. Satmary
and Yu.T. Fedotov.

Уровень пульсационной активности звезд типа δ Щита зависит от их положения на диаграмме Герцшprunga–Рессела. Характер и причины этой зависимости можно понять, изучая, в частности, мультипериодичность у различных звезд. Для идентификации наблюдаемых колебаний разработаны совершенные методы (Брэгер, 1980).

В работе Гарбузова и др., 1987 сделана попытка поиска наблюдательных проявлений радиальных колебаний во 2–5 обертонах по спектральным наблюдениям в линии H_{α} , полученным с высоким времененным разрешением. Выбор линии H_{α} обусловлен тем обстоятельством, что колебания в этих обертонах затрагивают, в основном, самые внешние слои атмосфер звезд.

Все наблюдения проведены на 122-см рефлекторе Крымской астрофизической обсерватории АН СССР с использованием электронно-оптического преобразователя (ЭОП) с волоконной оптикой, сопряженного с линзовой камерой дифракционного спектрографа АСП-11 (дисперсия 40 \AA/mm , расширение спектров 0.8 – 0.8 mm , эмульсия Kodak 103aG, время экспонирования 3–5 мин.; спектрограммы для $\kappa^2 \text{ Boo}$ сняты со спектрографом UAGS+ЭОП, дисперсия 80 \AA/mm). Для каждой звезды в течение ночи наблюдений непрерывно снято от 32 до 50 спектрограмм. Данные об исследованных звездах, согласно работе Халприна и Муна (1983), и результаты наблюдений приведены в таблице 1 и на рисунках 1, 2 и 3. Результаты по звездам $\epsilon \text{ Cyg}$ и $\kappa \text{ Peg}$ опубликованы в работах Гарбузова и др., 1987 и Андриевского и Гарбузова, 1987.

Таблица 1.

Звезда	P_p	$B-V$	M_V	Результаты
$\kappa \text{ Peg}$	0.056	0.17	1.60	$P=0^d.029$ (3H), $P=0^d.022$ (5H)
$\kappa^2 \text{ Boo}$	0.067	0.20	0.85	$P=0^d.0077$ (?)
$\epsilon \text{ Сер}$	0.042	0.27	2.06	$P=0^d.026$ (2H)
$\epsilon \text{ Cyg}$	0.143	0.37	2.73	нет переменности

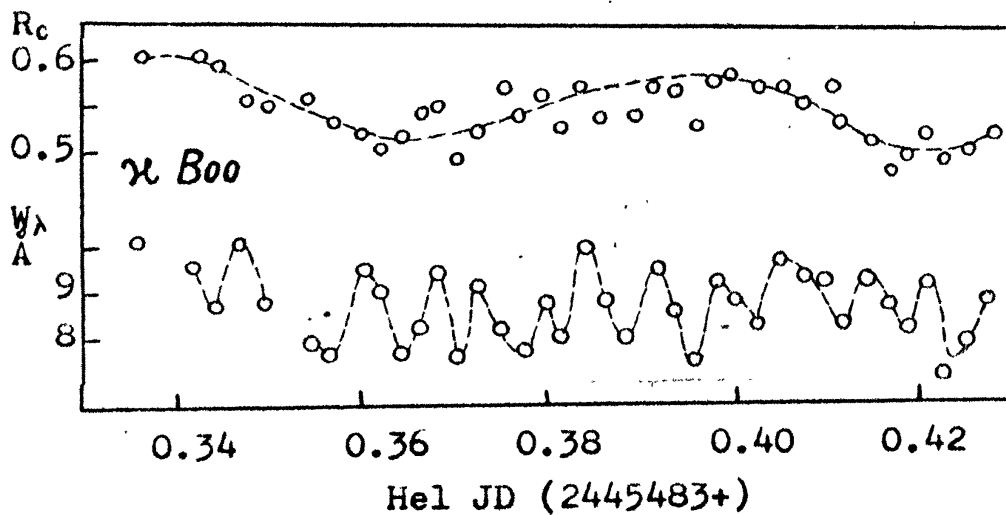


Рис. 1. Изменение центральной глубины (R_c) и эквивалентной ширины (W_λ) линии поглощения H_α у κ^2 Boo.

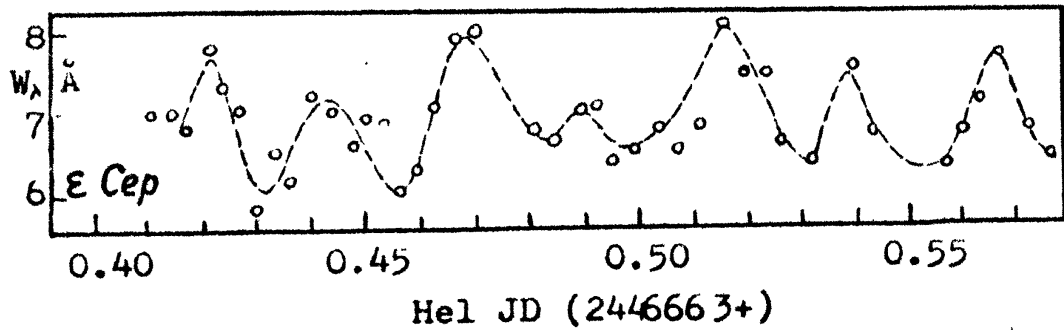


Рис. 2. Изменение эквивалентной ширины (W_λ) линии поглощения H_α у ϵ Сер.

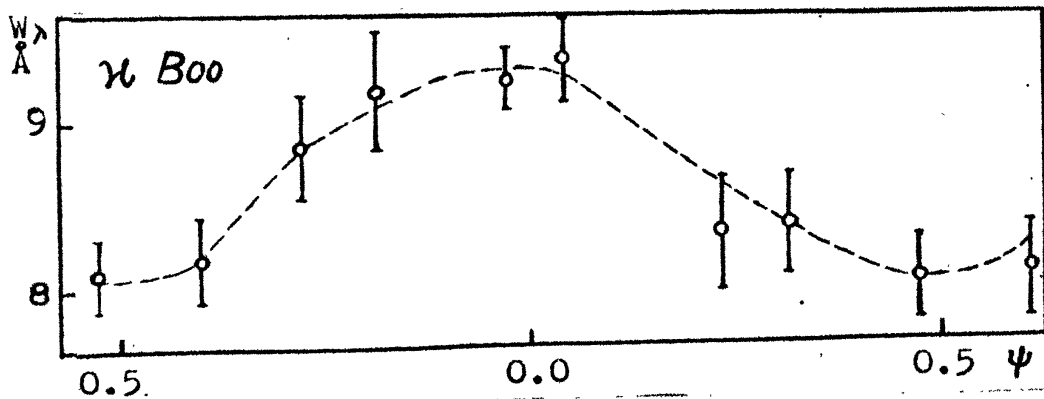


Рис. 3. Средняя кривая изменения эквивалентной ширины (W_λ) линии поглощения H_α в спектре κ^2 Boo с фазой быстрого колебания. Точки на кривой получены усреднением близких по фазе 4–6 точек. Указана ошибка среднего.

Литература.

- Андреевский С.М., Гарбузов Г.А., 1987, Письма в АЖ 13, 414.
Брегер, 1980 – Breger M., Space Sci. Rev. 27, 361.
Гарбузов Г.А., Андреевский С.М., Маланушенко В.П., 1987,
Письма в АЖ 13, 321.
Халприн и др., 1983 – Halprin L., Moon T.T., Astrophys. and Space
Sci. 91, 43.

*Астрономическая обсерватория Одесского госуниверситета***Частотный анализ эффекта Блажко АН Жирафа.****В.П. Горанский.**

**Frequency analisys of Blazhko effect in AN Camelopardalis, by
V.P. Goranskij.**

195 фотозелектрических наблюдений звезды типа RR Лиры АН Сам в полосах В и V получено на 70-см рефлекторе ГАИШ в Москве и на 60-см рефлекторе ГАИШ в Крыму в JD 2446673–777. Основной период изменения блеска звезды $P_1 = 0^d.36873$. Определен период эффекта Блажко $P_B = 11^d.0 \pm 0^d.2$. Частотный анализ кривой блеска после вычитания из нее средней кривой основного колебания производился методом Диминга¹.

В спектре мощности доминирует пик вторичного колебания с периодом $P_2 = 0^d.18139$, приблизительно вдвое меньшим, чем основной период. Частота вторичного колебания связана с частотой эффекта Блажко и с частотой основного колебания зависимостью $\nu_B = \nu_2 - 2\nu_1$. Следующий по мощности пик относится к колебанию с периодом $P_3 = 0^d.3566$ – частота которого равна разности частот вторичного и основного колебаний блеска. Таким образом результаты анализа АН Сам подтверждают результат Борковского² для AR Her:

Установлено, что амплитуда и форма кривой блеска вторичного колебания сильно зависят от фазы основного колебания, в которую попадает его максимум. Если максимум вторичного колебания попадает на середину восходящей ветви главного колебания блеска, то амплитуда вторичного колебания максимальна.

Наблюдения интерпретированы как параметрический резонанс 2:1 между радиальными модами F и 3H.

Frequency analisys of the RR Lyrae variable star AN Cam has shown the variable amplitude secondary wave with the period of $0^d.18139$ which is approximately twice shorter than the fundamental one $0^d.36873$. The period of Blazhko effect of $11^d.0$ was found. The results resemble those by Borkowski for AR Her. They are interpreted as a parametric 2:1 resonance between the radial modes F and 3H.

¹Deeming T.J., 1975, Astrophys. Space Sci. **36**, 137. ²Borkowski K.J., 1980, Acta Astron. **30**, No. 4, 393.

*Государственный астрономический институт
им. П.К. Штернберга.*